

# 大功率激光二极管侧面泵浦固体激光器 谐振腔的优化设计

石 岩<sup>1</sup> 李 松<sup>1</sup> 陈义红<sup>2</sup>

(<sup>1</sup> 武汉大学电子信息学院 430072; <sup>2</sup> 湖北光通光电系统有限公司 430074)

**摘要** 运用激光腔的矩阵理论,推导出了含热厚透镜的平—平腔的 G 参数及热稳条件,用图示法对定腔长的谐振腔进行优化设计,并用优化的参数进行了相关实验。当输入电功率为 450W 时激光器的输出功率为 50W, 电—光转换效率 11.1%, 光—光效率达到 30%, 功率稳定性优于±2%。

**关键词** 激光二极管 热不灵敏腔 失调灵敏度

## Resonator Design Optimization Of High Power Laser Diode Side-Pumped Solid Laser

Shi Yan<sup>1</sup> Li Song<sup>1</sup> Chen Yi Hong<sup>2</sup>

(<sup>1</sup> School of Electronic Information, Wuhan University; <sup>2</sup> Huiben Guangtong Photoelectric System Co., Ltd)

**Abstract** By using the matrix theory of laser resonators, the G parameters of plane-plane cavity and the condition of thermal thick lens inside laser resonators are given. The optimistic design of laser resonator is made to obtain by using the graphic method. Then the experiments are carried out with the designed resonators parameters. When input electric power is 450W, its output laser power is up to 50W. The electro-optic efficiency is 11.1% and the light to light conversion efficiency is up to 30%. The power stability is ±2%.

**Key words** laser diode thermal insensitive resonator misalignment sensitivity

大功率激光二极管侧面泵浦固体激光器以转换效率高、工作寿命长、结构紧凑和光束质量高等特点而倍受青睐, 应用十分广泛。而谐振腔的设计既影响激光器的运转又影响最大功率的获得。本文在给定腔长的前提下, 利用热稳腔的三个设计原则对谐振腔进行了优化设计。相关实验表明: 经优化设计的激光器不仅有很高的功率稳定性, 且电光、光光转换效率都达到了较为理想的水平。

### 谐振腔的稳定性区的分析

我们设计的是平均功率 50W 的 Nd:YAG 脉冲激光器。设计谐振腔的出发点是使本征基模与泵浦光分布集中处尽可能相互重迭, 以实现高效率的基模匹配。虽然非稳腔具有很大的模分辨能力和模体积, 但其调整要求高, 单程损耗大, 可靠性差, 受环境及镜腔变形等因素影响大, 而且非稳腔一般为环状输出, 使得远场图样总表现为一定大小和几何分布形状, 光束质量较差。所以在我们设计的 50W 功率的激光器中, 选择采用稳定腔, 加入声光 Q 开关只是对腔的光程长度有所改变, 腔的稳定区的计算与

不加声光器件的方法是一样的。由于泵浦 YAG 棒的激光二极管具有较高的功率, YAG 棒具有热透镜效应。因激光器腔长较短, 具有热焦距效应的晶体棒可等效为一个焦距随泵浦功率 P 变化的热厚透镜, 如图 1 所示。M<sub>1</sub>, M<sub>2</sub> 是平面, l 为激光棒的长度, h 表示热厚透镜的主平面 H<sub>1</sub> (或 H<sub>2</sub>) 到棒的对应端面之间的距离。具有热透镜效应的晶体棒焦距为 f, 其倒数 D 为晶体棒的屈光度。晶体棒的主平面距对应平面的距离分别为 l<sub>1</sub>, l<sub>2</sub>。根据激光腔的矩阵理论图 1 所示的谐振腔内元件从 M<sub>1</sub> 到 M<sub>2</sub> 的单程光线传输矩阵为:

$$M^+ = \begin{pmatrix} a & b \\ c & d \end{pmatrix} = \begin{pmatrix} 1 - \frac{l_1}{f} & l + l_1 - \frac{f(l_1)}{f} \\ -\frac{1}{f} & 1 - \frac{l_2}{f} \end{pmatrix} \quad (1)$$

谐振腔的 G 参数为

$$G_1 = 1 - (l_1/D), \quad G_2 = 1 - (l_2/D) \quad (2)$$

根据高斯光束传播理论可知热透镜靠近 M<sub>1</sub> 主

平面的棒光斑半径  $w_{10}$  为:

$$w_{10} = \frac{\lambda}{\pi} \sqrt{\frac{|l_1 + l_2 - 2b|}{(1 - G_1 G_2) G_1 G_2}} \quad (3)$$

根据上式可做出  $l_2/l_1$  取不同值时靠近镜面  $M_1$  处激光光斑随  $D_s = l_1/f$  的变化的曲线(图 2)。

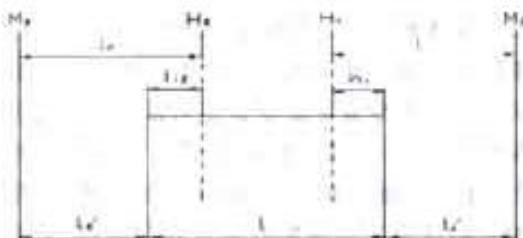


fig. 1 plane-plane cavity with thermal thick

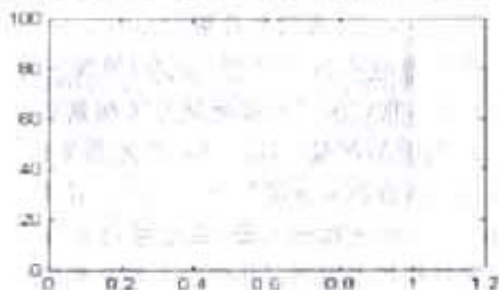


fig. 2 change curve of the rod spot len with the change of  $D_s$

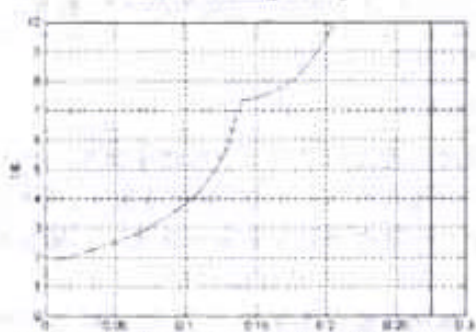


fig. 3 the distribution of thermal thick lens with thermal insensitivity

由图 2 可见:随着  $A$  值的减小,棒光斑的最小值  $w_{10}$  变大。棒光斑值越大,模体积越大,激光的输出功率越大<sup>[1]</sup>,这是我们所追求的。但随着  $A$  值的减小,棒光斑的最小值附近的值变化加剧,也就是说,热稳定区宽度  $\Delta(1/f)$  变窄,根据(3)式可得<sup>[2]</sup>

$$|\Delta(\frac{1}{f})| = |\frac{1}{l_2}| \quad (4)$$

#### 热扰分析

在二极管泵浦的固体激光器中,工作物质的热效应大为降低,在相同的注入功率情况下,二极管泵浦的热焦距要比灯泵浦的热焦距下降很多。但由于量子损耗的存在,激光二极管泵浦固体激光器的腔

长比灯泵浦固体激光器的腔长要短得多,因此,对热效应也就敏感得多。所以对于二极管泵浦固体激光器来说,热效应仍然是个很严重的问题。热透镜效应主要引起模尺寸和光束发散角改变,在设计激光器的谐振腔时,尽量采用对热扰不十分灵敏的谐振腔。根据计算,棒光斑的最小值对应于热扰动的最稳定区域,可表示为:

$$\frac{dw_{10}}{d(1/f)} = \frac{dw_{10}}{dD} = 0 \quad (5)$$

进一步推导得:

$$D = \frac{1}{2}(A+1 \pm \sqrt{A^2-1}) \\ = \frac{1}{2}\left[\frac{l_2}{l_1} + 1 \pm \sqrt{\left(\frac{l_2}{l_1}\right)^2-1}\right] \quad (6)$$

$$\frac{1}{l_2} = \frac{1}{2}\left(\frac{1}{l_1} + \frac{1}{l_2} \mu \sqrt{\frac{1}{l_1^2}-\frac{1}{l_2^2}}\right) \quad (7)$$

理论上,谐振腔存在两个热不灵敏点。根据上面分析的稳定性条件,取  $(l_2/l_1) \geq 1$ ,其稳定区  $D$  值范围为:

$$\frac{1}{l_1} + \frac{1}{l_2} \geq D \geq \frac{1}{l_1}, \quad \frac{1}{l_2} \geq D \geq 0 \quad (8)$$

所以有:

$$\frac{1}{l_2} = \frac{1}{2}\left(\frac{1}{l_1} + \frac{1}{l_2} - \sqrt{\frac{1}{l_1^2}-\frac{1}{l_2^2}}\right) \quad (9)$$

由(9)式作图 3,可见:谐振腔中热稳点随  $l_2$  的变化而变化。相应的谐振腔在热扰不灵敏条件下的  $G$  参数为:

$$G_{z1} = -\frac{l_2}{2}\left(\frac{1}{l_1} - \frac{1}{l_2} \pm \sqrt{\frac{1}{l_1^2}-\frac{1}{l_2^2}}\right) \quad (10a)$$

$$G_{z2} = \frac{l_2}{2}\left(\frac{1}{l_1} - \frac{1}{l_2} \mu \sqrt{\frac{1}{l_1^2}-\frac{1}{l_2^2}}\right) \quad (10b)$$

在热扰不灵敏条件下,应有

$$2G_{z1}G_{z2} = 1 - \frac{l_1}{l_2} = 1 - \frac{1}{A} \quad (11)$$

将(11)式代入(3)式可得到棒的主平面上的最小光斑为  $w_{10}^2 = (2\lambda/\pi) |l_2|$ 。根据(4)式可得稳定区的宽度与棒光斑的关系为

$$w_{10}^2 = \frac{2\lambda}{\pi} \frac{1}{|(1/\Delta f)|^2}$$

当棒中的光斑尺寸对焦距变化不敏感时,棒中的模体积与稳定区的宽度以及与输入的泵浦功率的变化范围成反比。

#### 失调灵敏度:

激光器由于环境温度的变化,常出现的故障之

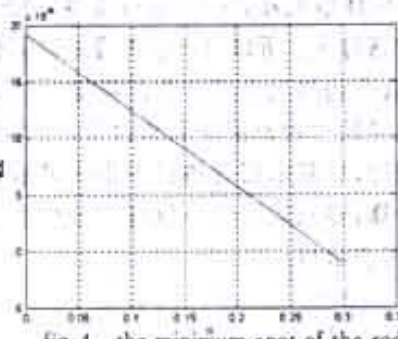


fig. 4 the minimum spot of the rod

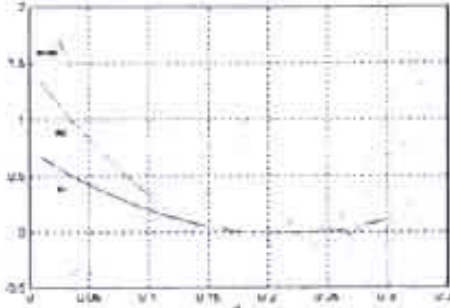


fig. 5 misalignment sensitivity

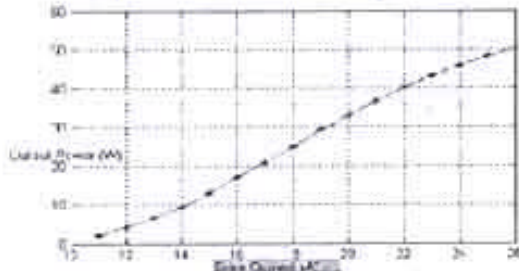


fig. 6 the experiment result of laser

一是激光器的光学谐振腔失调，就是指：在室温下校正好的光学谐振腔的平行性，由于环境温度的变化和长时间工作热效应的影响，光学谐振腔的平行性会受到破坏，引起激光器输出阈值上升，造成输出光束的横向位移和角倾斜，使损耗增加，输出功率降低。引起光学谐振腔失调的原因很多，温度的变化和结构设计不合理是其主要的方面。谐振腔的  $M_1, M_2$  失调的失调灵敏度参量  $D_1, D_2$  表示式为<sup>[2]</sup>

$$D_1^2 = \frac{\pi b}{\lambda} \sqrt{\frac{G_{01}}{G_{02}}} \frac{1 + G_{01}G_{02}}{\sqrt{(1 - G_{01}G_{02})^2}} \quad (12a)$$

$$D_2^2 = \frac{\pi b}{\lambda} \sqrt{\frac{G_{02}}{G_{01}}} \frac{1 + G_{01}G_{02}}{\sqrt{(1 - G_{01}G_{02})^2}} \quad (12b)$$

若两面反射镜都失调，则谐振腔总的失调灵敏度参量  $D$  表示为

$$D^2 = \frac{\pi b}{\lambda} \frac{(1 + G_{01}G_{02})}{\sqrt{(1 - G_{01}G_{02})^2}} \frac{|G_{01} + G_{02}|}{\sqrt{G_{01}G_{02}}} \quad (13)$$

根据(12)、(13)式作图 5，此图反映了腔的失调

— 76 —

(上接第 76 页)

进：激光技术与应用参考文献

[1] 周炳琨等. 激光原理. 国防工业出版社, 2001

特性随  $l_1$  变化而变化。理论分析和实验研究表明，失调灵敏度参量  $D$  能较准确地说明光腔的失调特性。 $D_1$  或  $D_2$  越小，则因光腔反射镜失调所引入的附加损耗也越小，光腔对失调就越不灵敏。腔的优化设计原则是：(一) 棒光斑最小值  $w_0$  尽可能大，以获得大的模体积，从而使激光器获得高效率。(二) 腔模体积对热焦距的变化尽可能不灵敏。(三) 腔几何扰动引起的失准直灵敏度  $D$  尽可能小。通过分析以上各图形可知，上述三种关系随  $l_1$  变化而呈现出复杂的变化，平衡各种关系我们得到  $l_1$  取值为 0.12m 附近的情况下谐振腔既满足稳定条件，对热扰不灵敏，而且又兼顾了腔的失调特性。

### 实验与分析

热透镜效应可以在泵浦(受热)情况下进行实测。实验中，我们采用直接测量方法测量对激光器进行了热焦距的测量。He-Ne 激光器先经扩束，然后通过二极管侧面泵浦的 Nd:YAG 晶体出射的光，用一接收屏来接收光斑，通过移动接收屏的前后位置来寻找焦点位置。从棒中心到会聚的最小光斑的距离即近似为热焦距  $f$ 。这种方法简便但测量误差较大。为提高精度，采取多次测量取平均值的方法，得到其电功率  $P_o$  与其焦距  $f$  的数据如下：

泵浦功率 $P_p$ (W)	270	324	360	396	450
热焦距 $f$ (mm)	660	580	490	420	370

此次实验我们采用 3 个大功率激光二极管阵列以  $120^\circ$  分布排在 Nd:YAG 激光棒周围，从侧面将二极管激光能量直接耦合到激光晶体上。掺杂浓度为 0.6% 的 Nd:YAG 晶体棒的几何尺寸为  $\phi 3\text{mm} \times 63\text{mm}$ ，棒的两端面为平平面，镀膜。输出镜的  $T = 20\%$ ，加入声光 Q 开关，激光二极管的冷却水温设定在  $25^\circ\text{C}$ 。注入二极管的电压为  $18\text{V, DC}$ ，电流限制在  $25\text{A}$  以内。图 6 是此次实验用光功率计探测的输出功率结果，图中可看出激光的最大功率达到  $50\text{W}$ ，电-光转换效率为  $11.1\%$ 。光-光转换效率为  $30\%$ ，且稳定性为  $\pm 2\%$ 。

结论：若要进一步提高激光二极管侧面泵浦固体激光器稳定输出功率，又不使谐振腔过长，一种方法就是在腔内插入一定倍数的望远镜，此法可以缩短实际腔长，但腔的结构复杂，调整难度大，既增加了损耗，又易对腔内元件造成伤害；另一种办法是采用大高斯镜的稳定腔(GRMSR)，利用 GRM 作为耦合输出和选模元件。

(参考文献下转第 96 页)

[2] S. D. Silvestri et al., Opt. Commun. 1986, 57(5), 339

[3] 卢立雄等. 激光束传输与变换技术. 电子科技大学出版社, 1999, 177